3. Сушку покрытий из раствора эластомера Ф-40 рекомендуется проводить в два этапа, так как это позволит избежать закипания ацетона и снизить пористость покрытия.

Литература

- 1. Ли Р.И. Применение полимерных материалов в подшипниковых узлах при изготовлении и ремонте машин: монография. Мичуринск: Изд-во Мичуринского госагроуниверситета, 2010. 160 с.
- 2. Жачкин С.Ю. Восстановление деталей машин композитным хромовым покрытием: монография. Воронеж: ГОУВПО «Воронежский государственный технический университет», 2009. 177 с.
- 3. Kolomeichenko A.V., Kuznetsov I.S., Kravchenko I.N. Investigation of the thickness and microhardness of electrospark coatings of amorphous and nanocrystalline alloys / Welding International. 2015. T. 29. № 10. C. 823-825.
- 4. Шадричев В.А. Основы технологии автостроения и ремонт автомобилей [Текст]: учебник для вузов. Л.: Машиностроение, 1976. 560 с.
- 5. Кру П., Макгоуин Л., Макквистан Р. Основы инфракрасной техники. М.: Воениздат, 1964.-464 с.
- 6. Кац А.М. Автомобильные кузова. M.: Транспорт, 1972. 296 с.
- 7. http://npo-elcom.ru/
- 8. Лыков А.В. Теория сушки. М.: Энергия, 1968. 472 с.
- 9. http://instplast.ru/

Исследование подачи электрогидродинамического насоса высокого давления топливной системы дизеля.

д.т.н. проф. Соковиков В.К., Строков П.И. Университет машиностроения (МАМИ) 8(499)9048423, 89262742508, pavig@yandex.ru

Аннотация. В статье рассматривается влияние высоковольтного электрического сигнала, подаваемого на электроды насоса высокого давления топливной системы дизеля, на расход, поступающий в цилиндры двигателя из гидроаккумулятора давления. Установлены основные зависимости, показывающие, что рост высоковольтного напряжения сигнала приводит к повышению давления в аккумуляторе и расходу в цилиндры двигателя.

<u>Ключевые слова:</u> двигатель, аккумулятор, дизель, электрогидродинамический насос, топливная система, электроды, расход топлива, давление впрыска.

В статье рассматривается насос высокого давления для топливной системы дизеля, способной создавать давление 100-150 МПа, однако схема может быть использована в системах с другой рабочей жидкостью, где требуется для работы высокое давление.

Схема топливной системы дизеля с электрогидродинамическим насосом (ЭГДН) представлена на рисунке 1. Основной особенностью насоса является то, что для создания давления и подачи топлива необходима подача высокого электрического напряжения (до 80 кВ) между электродами, расположенными внутри насоса.

На рисунке 1 обозначено: 1 — электронный блок управления; 2 — датчик давления гидроаккумулятора; 3 — электрогидравлические форсунки двигателя; 4 — гидроаккумулятор; 5 — электрогидродинамический насос высокого давления; 6 — высоковольтные электроды; 7 — блок повышения напряжения; 8 — информация от датчиков системы; 9 — блок задания частоты (или транзисторный коммутатор); 10 — система подпитки с насосом и переливным гидроклапаном; 11 — электрогидравлический клапан.

В работах [1, 2, 4] представлены результаты исследований физических процессов, происходящих в насосе при изменении выходных параметров электрического блока управления. Вместе с тем, создаваемое давление и подача насоса существенно зависят от подаваемого электрического напряжения и его частоты.

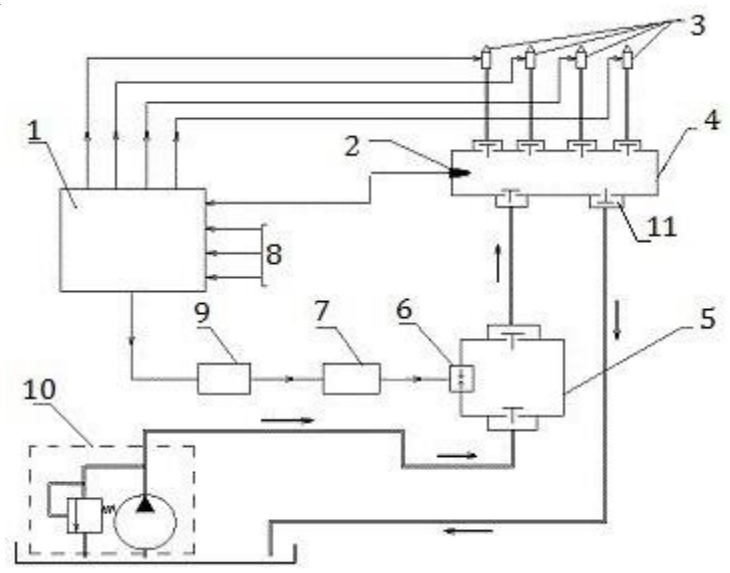


Рисунок 1. Принципиальная схема аккумуляторной топливной системы дизеля

На рисунке 2 приведена упрощенная функциональная схема электрогидродинамического насоса, из которой можно судить о взаимосвязях отдельных элементов на подачу насоса и создаваемое давление.

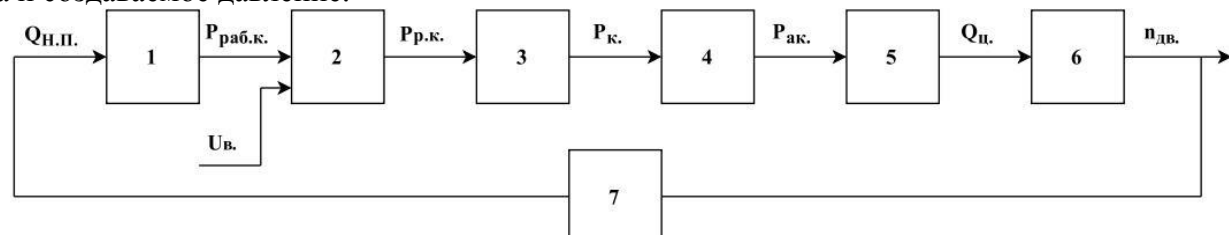


Рисунок 2. Функциональная схема электрогидравлического насоса

На рисунке 2 обозначено: 1 – объем рабочей камеры насоса $V_{\rm pkh}$; 2 – камера разряда с двумя электродами; 3 – гидравлические потери при движении паротопливной смеси по рабочей камере насоса до обратного гидроклапана; 4 – расход паротопливной смеси через гидроклапан $Q_{\rm ak}$; 5 – релаксация паротопливной смеси и расход топлива через форсунки двигателя; 6 – механизмы двигателя, включая цилиндры двигателя; 7 – обратная связь в виде привода к насосу подпитки.

На рисунке 2 принято: $Q_{\rm HII}$ – подача насоса подпитки; $P_{\rm pa6.k}$ – давление в рабочей камере до электрического разряда; $P_{\rm p.k}$ – давление в рабочей камере после электрического пробоя между электродами; $P_{\rm k}$ – давление перед гидроклапаном; $P_{\rm ak}$ – давление паротопливной смеси за гидроклапанном в гидроаккумуляторе, измеряемое электрогидравлическим датчиком давления 2 (рисунок 1); $Q_{\rm ak}$ – расход паротопливной смеси через обратный гидроклапан насоса в гидроаккумулятор; $Q_{\rm II}$ – расход топлива, поступающий в цилиндры двигателя после релаксации паротопливной смеси; пдв – обороты коленчатого вала двигателя; $U_{\rm B}$ – высокое напряжение, подаваемое на электроды рабочей камеры насоса.

Работа насоса заключается в следующем. Высокое напряжение (20 – 80 кВ) подается на электроды насоса. Между электродами возникает плазменная электрическая дуга, вокруг которой происходит нагрев и испарение топлива, что приводит к созданию паротопливной смеси с высоким давлением до 150 МПа. Ударная волна высокого давления и весь поток паротопливной смеси расширяются от электродов с большой скоростью, открывают напорный гидроклапан и паротопливная смесь поступает в гидроаккумулятор. В гидроаккумуляторе происходит релаксация этой смеси и она «превращается» в топливо, которое через электрогидравлические форсунки поступает в цилиндры двигателя. Вместе с тем, если паротопливная смесь не успела релаксироваться, то в виде подготовленной к сгоранию смеси (или вме-

сте с топливом), направляется в цилиндры двигателя. Освободившееся пространство в рабочей камере насоса после подачи заполняется топливом из системы подпитки.

Система подпитки механически не связана с коленчатым валом двигателя, поэтому подача электрогидродинамического насоса не зависит от оборотов двигателя и определяется либо блоком управления, либо оператором.

Процесс повышения давления в камере разряда достаточно сложный [2, 4], он зависит от множества факторов: частоты подачи электрических импульсов, зазоров между электродами, формы электродов и т.д., для исследования в данной статье рассматриваем влияние только некоторых из них, а остальные условно считаем неизменными. Влияние других факторов на повышение давления в камере насоса рассматривались в предыдущих статьях авторов [1, 2, 3, 6]. Итак, в первом приближении при определенном зазоре между электродами процесс повышения давления можно представить в виде следующего графика (рисунок 3). Там же показано влияние частоты подачи электрических импульсов f.

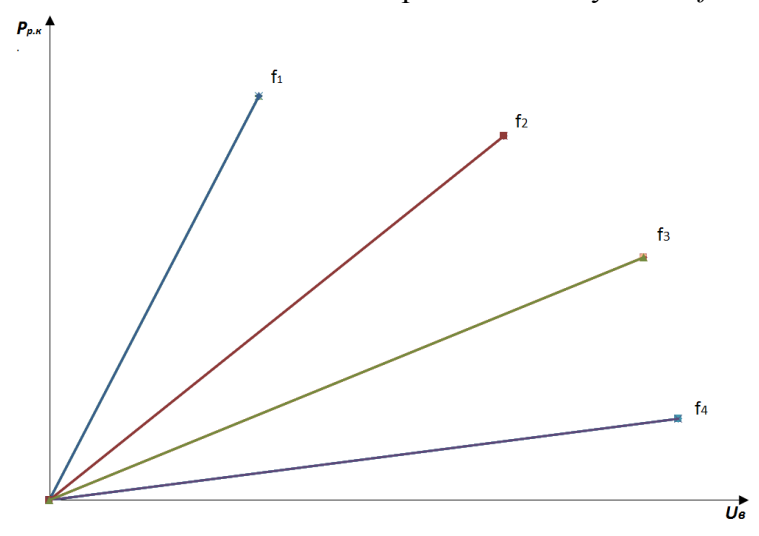


Рисунок 3. Изменение давления в камере разряда $P_{p,\kappa}$ в функции подаваемого высокого напряжения $U_{_{\mathrm{B}}}$

На рисунке 3 предполагается, что частота подаваемого напряжения $f_1 > f_2 > f_3 > f_4$. Частоты выбраны произвольно через равные интервалы в рамках диапазона частот, который способно создавать имеющееся у авторов экспериментальное оборудование. Рисунок показывает, что рост напряжения и частоты электрического сигнала приводят к повышению давления в камере разряда $P_{\rm p.k.}$.

Для увеличения давления в гидроаккумуляторе потери в обратном гидроклапане насоса стараются сделать минимальными, в частности за счёт уменьшения массы его подвижных элементов и увеличения проходных сечений. Пренебрегая гидравлическими потерями в обратном гидроклапане, можно использовать уравнение расхода [5] через гидроклапан в гидроаккумулятор в виде:

$$Q_{a\kappa} = \mu \cdot S_{\kappa\pi} \sqrt{\frac{2}{\rho} \left[F(f) U_{B} - P_{a\kappa} \right]}, \qquad (1)$$

где: $Q_{\rm a\kappa}$ — расход паротопливной смеси через обратный гидроклапан в гидроаккумулятор, μ — коэффициент расхода в гидроклапане, $S_{\kappa \pi}$ — площадь открытия гидроклапана.

В результате релаксации паротопливной смеси давление в гидроаккумуляторе уменьшается, но оно вновь возрастает в результате последующих подач насоса до значения, заданного электрогидравлическим клапаном 11 (рис.1) и конструкцией двигателя. Поэтому количество паротопливной смеси, поступающей из электрогидродинамического насоса в гидроаккумулятор и последующей релаксации равно:

$$Q_{a\kappa} = \sum_{1}^{n} \mu \cdot S_{\kappa \pi} \sqrt{\frac{2}{\rho} \left[F(f) U_{B} - P_{a\kappa} \right]}, \qquad (2)$$

где: n — количество подач электрогидродинамического насоса в гидроаккумулятор в секунду.

На основании уравнения (2) представим график подачи топлива в гидроаккумуляторе в функции подаваемого электрического напряжения на электроды камеры разряда при n=2, при условии $Q_{\rm ak}=Q_{\rm v}$, где $Q_{\rm v}$ – расход поступающий в цилиндры двигателя.

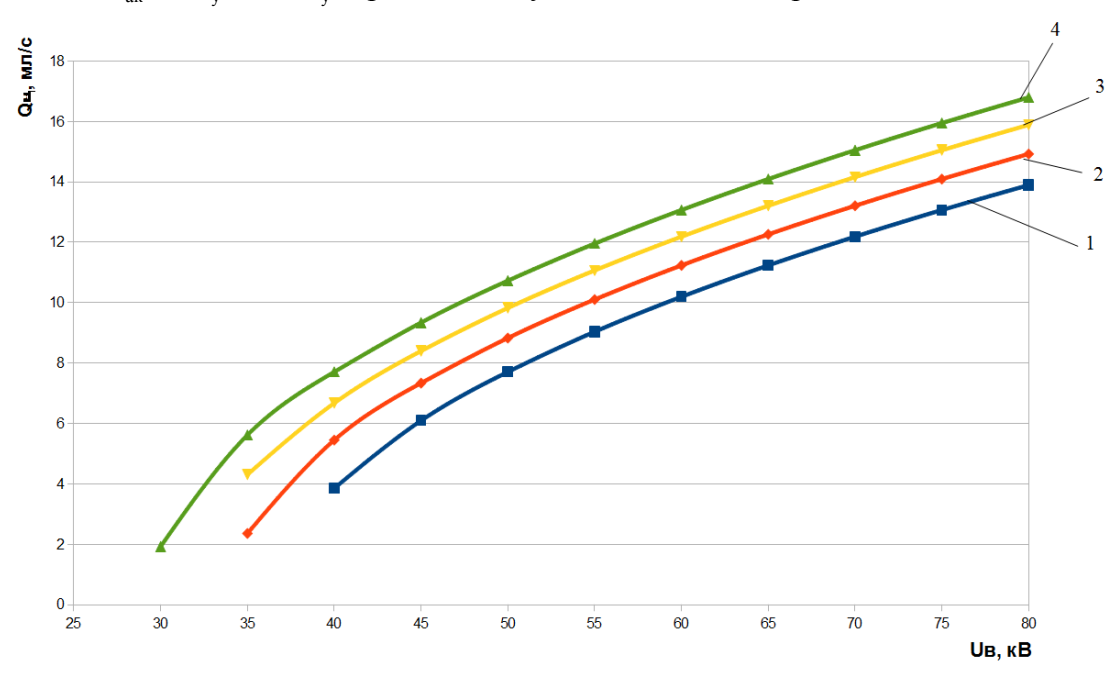


Рисунок 4. Зависимость расхода, поступающего в цилиндры двигателя, в функции высоковольтного напряжения $U_{\scriptscriptstyle \mathrm{B}}$

На рисунке 4 обозначено: кривая 1 соответствует $F(f)=3\cdot 10^3\frac{\Pi a}{B}$, кривая $2-F(f)=3,25\cdot 10^3\frac{\Pi a}{B}$, кривая $3-F(f)=3,5\cdot 10^3\frac{\Pi a}{B}$, кривая $4-F(f)=3,75\cdot 10^3\frac{\Pi a}{B}$. Расчеты проводились для следующих параметров: $\mu=0,7;S_{\rm kn}=3,14\cdot 10^{-8}\,{\rm m}^2; \rho=850\frac{{\rm K}\Gamma}{{\rm m}^3}; p_{\rm ak}=1,1\cdot 10^8\,\Pi a$.

Из рисунка 4 следует, что при увеличении напряжения и давления в рабочей камере насоса существенно возрастает расход, поступающий в цилиндры двигателя. Так, при изменении напряжения между электродами от 40 до 70 кВ при давлении в гидроаккумуляторе $1,1\cdot10^8\,\Pi$ а и $F(f)=3\cdot10^3\,\frac{\Pi a}{B}$ расход из аккумулятора возрастает с 3,9 мл/с до 12,25 мл/с.

Таким образом, в статье представлены результаты расчетов влияния напряжения в камере разряда на расход топлива в цилиндры двигателя. Увеличение напряжения в камере разряда приводит к росту давления в гидроаккумуляторе и расходу в цилиндры двигателя. Такое же влияние и частоты подачи импульсов. Топливная система дизеля с электрогидродинамическим насосом может обеспечить различные режимы работы двигателя при сокращении расхода топлива на транспортном средстве.

Литература

- 1. Соковиков В.К., Бекаев А.А., Строков П.И. Электрогидродинамический двигатель // Транспорт на альтернативном топливе. 2013. № 3(33). С. 26-30.
- 2. Соковиков В.К., Строков П.И. и др. Беспрецизионный электрогидродинамический ТНВД.

96

- Автомобильная промышленность №3, 2005.
- 3. Соковиков В.К., Строков П.И., Голубев Д.С. Практическое применение электрогидродинамического насоса. Тракторы и сельхозмашины №3, 2009.
- 4. Наугольных К.А., Рой Н.А. Электрические разряды в воде (гидродинамическое описание). М.: Наука, 1971, 155 с.
- 5. Лепешкин А.В., Михайлин А.А. Гидравлические и пневматические системы. Под ред. Беленкова Ю.А. Учебник. 6-ое издание. М.: изд. «Академия», 2011. 336 с.
- 6. Максимов Ю.В., Соковиков В.К., Бекаев А.А., Строков П.И. Топливный насос нового поколения // Изв. МГТУ "МАМИ". 2012. № 2(14). Т. 2. С. 241-245.

УДК 629.434-622

Перспективы и направления развития научной школы на кафедре «Автомобильные и тракторные двигатели» Университета машиностроения (МАМИ)

д.т.н. проф. Фомин В.М., к.т.н. доц. Хрипач Н.А., к.т.н. доц. Апелинский Д.В. Университет машиностроения +7(915)2114415, mixalichDM@mail.ru

Аннотация. Анализируются результаты научно-поисковых работ, проводимых на кафедре АТД МГМУ (МАМИ) в области транспортной альтернативной энергетики. Обосновывается потенциальная возможность реального вхождения в ближайшие годы отдельных видов водородных и биологических энергоресурсов в структуру национальной транспортной энергетики. Рассматриваются перспективы развития исследований.

<u>Ключевые слова:</u> альтернативные энергоносители, синтезированный газ, аккумулирование водорода, биомасса, катализатор, метанол, конверсия.

На протяжении двух последних десятилетий на кафедре «Автомобильные и тракторные двигатели» Университете машиностроения (МАМИ) в рамках целевой программы проводится комплекс поисковых исследований в области альтернативной энергетики, по двум направлениям: водородная энергетика и биоэнергетика. Отдельные этапы программы реализовывались при финансовой поддержке РФФИ.

Программа поисковых исследований по направлению – водородная энергетика

Водороду среди альтернативных топлив для автомобильных двигателей в мировой исследовательской практике отводится особое место. Учитывая огромные ресурсы водорода в природе и возможность его получения из возобновляемых сырьевых источников, например, растительных, немаловажную роль играет то, что при использовании его в качестве топлива на транспортных средствах создаются возможности практической неисчерпаемости данного энергоносителя. Водород обладает чрезвычайно высокой массовой энергоемкостью (почти в 3 раза большей, чем у традиционных нефтяных топлив), уникальными кинетическими и экологическими характеристиками сгорания.

Увеличение доли водородной энергетики в общем балансе отечественного транспортного энергообеспечения способно существенно повлиять на структуру потребления энергетических источников на органической основе, а также на результирующие показатели по повышению энергетической и экологической безопасности на транспорте. Однако, массовое энергетическое использование водорода на российском транспорте в настоящее время сдерживается рядом сложных, еще не решенных проблем: отсутствие инфраструктуры его производства и распределения, высокая стоимость. Вопросы национального развития крупномасштабного энергетического использования водорода на транспорте требуют дальнейшего си-